

УДК 539.374

ЛОКАЛЬНАЯ НЕУСТОЙЧИВОСТЬ ГОРИЗОНТАЛЬНЫХ ВЫРАБОТОК МНОГОУГОЛЬНОЙ ФОРМЫ В УПРУГОВЯЗКОПЛАСТИЧЕСКИХ МАССИВАХ

Д. В. Гоцев, И. А. Ененко, А. Н. Спорыхин

Воронежский государственный университет, 394006 Воронеж
E-mail: enenkoira@yandex.ru

В рамках точных трехмерных уравнений устойчивости исследована локальная неустойчивость горизонтальной горной выработки, имеющей в поперечном сечении форму правильного многоугольника при упруговязкопластическом поведении массива горных пород. Дана оценка влияния параметров горного массива на величину критического давления.

Ключевые слова: локальная неустойчивость, горные выработки, упруговязкопластическая среда.

Известно, что решение задач горной механики, относящихся к процессам проведения подземных выработок, бурения нефтяных и газовых скважин, сводится к постановке и решению задач локальной неустойчивости массива в окрестности выработок при упруго-пластических деформациях [1–4]. Это обусловлено тем, что вокруг выработок и скважин напряжения уже на небольших глубинах до 1 км превосходят предел прочности горной породы, в результате она переходит в состояние неупругого деформирования раньше, чем происходит локальная потеря устойчивости. Первый этап решения этой задачи заключается в нахождении напряженно-деформированного состояния бесконечного пространства, нагруженного собственным весом, с бесконечной цилиндрической выработкой, имеющей в поперечном сечении форму правильного многоугольника. Второй этап состоит в решении линеаризированной задачи устойчивости, т. е. в определении критического значения давления, равномерно распределенного по контуру выработки. В отличие от [2] в настоящей работе на основе точных трехмерных уравнений [5] исследуется локальная неустойчивость пород приствольной зоны горизонтальной горной выработки с учетом многоугольной формы ее поперечного сечения. Свойства пород приствольной зоны моделируются соотношениями упруговязкопластического тела с трансляционным упрочнением [6, 7].

В этом случае функция нагружения имеет вид

$$F = (S_i^j - c(\varepsilon_i^j)^p - \eta(e_i^j)^p)(S_j^i - c(\varepsilon_j^i)^p - \eta(e_j^i)^p) - k^2, \quad (1)$$

а соотношения ассоциированного закона течения — вид

$$(e_i^j)^p = \lambda(S_i^j - c(\varepsilon_i^j)^p - \eta(e_i^j)^p). \quad (2)$$

Здесь c — коэффициент упрочнения; η — коэффициент вязкости; k — предел текучести; $S_i^j = \sigma_i^j - \sigma\delta_i^j$ — девиатор тензора напряжений; $\sigma = \sigma_k^k/3$; δ_i^j — символ Кронекера; ε_i^j — компоненты тензора деформаций; e_i^j — компоненты тензора скоростей деформаций; λ — положительный множитель.

Исследование основного состояния тела объема V , характеризуемого вектором перемещения $\dot{u}_i(x_k, t)$, тензором напряжений $\dot{\sigma}_i^j(x_k, t)$, вектором объемных $X\dot{X}_i$ и поверхностных \dot{P}_i сил, сводится к решению системы дифференциальных уравнений в вариациях при соответствующих граничных условиях [4].

Уравнения равновесия для областей пластического V^p и упругого V^e деформирования имеют вид

$$\nabla_i(\sigma_j^i + \dot{\sigma}_\alpha^i \nabla^\alpha u_j) + X_i - \rho s^2 u_j = 0, \quad s = i\omega. \quad (3)$$

Граничные условия на внешней поверхности S_p^p (соответственно S_p^e) запишем в виде

$$N_i(\sigma_j^i + \dot{\sigma}_\alpha^i \nabla^\alpha u_j) = p_j, \quad u_j|_{r \rightarrow \infty} \rightarrow 0, \quad (4)$$

при этом в случае “следящей” нагрузки $p_i = \dot{p}_k \nabla^k u_j$, $X_i = \dot{X}_k \nabla^k u_j$, в случае “мертвой” нагрузки $p_i = X_i = 0$. Здесь и далее ∇ — символ ковариантного дифференцирования; индексы e и p обозначают, что соответствующие величины относятся к упругой или пластической области; кружочком сверху помечены компоненты основного невозмущенного состояния.

Условия непрерывности на упругопластической границе γ имеют вид

$$[N_i(\sigma_j^i + \dot{\sigma}_\alpha^i \nabla^\alpha u_j)] = 0, \quad [u_i] = 0. \quad (5)$$

Зависимость между амплитудными значениями напряжений и перемещений для несжимаемой упруговязкопластической модели среды в случае неоднородного основного состояния в пластической и упругой областях можно представить в виде

$$\sigma_{ij} = \varepsilon_{\alpha\beta} a_{ij}^\alpha g^{\alpha\beta} + 2\mu\varepsilon_{ij} + \varepsilon_{12} a_{ij}^4 + p g_{ij}. \quad (6)$$

Коэффициенты a_{ij}^s имеют вид

$$\begin{aligned} a_{ij}^1 &= a f_{ij}(-2f_{11} + r^2 f_{22})/3, & a_{ij}^2 &= a f_{ij}(f_{11} - 2r^2 f_{22})/3, & a_{ij}^3 &= a f_{ij}(f_{11} + r^2 f_{22})/3, \\ a_{ij}^4 &= -2a f_{ij} f_{12}, & f_{ij} &= S_{ij}^0 - c \varepsilon_{ij}^p, & a &= 4\mu^2/(k^2(2\mu + c + \eta s)), \end{aligned} \quad (7)$$

где p — множитель Лагранжа; $s = i\omega$; $\omega = \alpha + i\beta$; μ — параметр Ламе. При $a = 0$ соотношения (6), (7) соответствуют упругой области.

Уравнения (3)–(7) представляют собой замкнутую систему уравнений для исследования задач устойчивости, когда имеется граница раздела областей упругого и пластического поведения материала при нагружении.

Горный массив с горизонтальной выработкой, имеющей в поперечном сечении форму правильного многоугольника (со сглаженными углами), будем моделировать невесомой бесконечной пластиной с многоугольным отверстием радиуса R_B , по контуру которого приложена равномерно распределенная нагрузка q_0 (давление жидкости или газа на выработку). Величина q_0 такова, что образовавшаяся пластическая область полностью охватывает контур выработки. На бесконечности напряжения в пластине стремятся к величине gh (g — объемный вес породы; h — глубина заложения выработки), т. е. начальное напряженное состояние в массиве (до проведения выработки) принимается гидростатическим.

При определении компонент напряженно-деформированного основного состояния все функции представляются в виде рядов по степеням малого параметра δ , характеризующего отклонение невозмущенного состояния от исходного, т. е. отклонение окружности радиуса R_0 от правильного многоугольника (B -угольника), уравнение контура которого имеет вид

$$R_B = \sum_{n=0}^{\infty} \delta^n R_B^{(n)} = R_0 \left(1 + \delta \cos B\theta - \frac{3}{4} \delta^2 d^2 (1 - \cos 2B\theta + \dots) \right), \quad 0 \leq \theta \leq 2\pi,$$

$$\{\sigma_{ij}, \varepsilon_{ij}^p, \varepsilon_{ij}^e, e_{ij}^p, \dots\} = \sum_{n=0}^{\infty} \delta^n \{\sigma_{ij}^{(n)}, \varepsilon_{ij}^{p(n)}, \varepsilon_{ij}^{e(n)}, e_{ij}^{p(n)}, \dots\}.$$

Нулевое приближение соответствует осесимметричному состоянию плоскости с круговым отверстием радиуса R_0 и в полярных координатах (r, θ) согласно [8] принимает следующий вид:

— в пластической области ($R_0 < r < 1$)

$$\begin{aligned} \sigma_r^{(0)} &= -q_0 + \frac{4\chi\mu}{2\mu + c} \left[\frac{c + 2\mu e^{-\alpha t}}{4\mu} \left(\frac{1}{R_0^2} - \frac{1}{r^2} \right) + (1 - e^{-\alpha t}) \ln \frac{r}{R_0} \right], \\ \sigma_\theta^{(0)} &= -q_0 + \frac{4\chi\mu}{2\mu + c} \left[\frac{c + 2\mu e^{-\alpha t}}{4\mu} \left(\frac{1}{R_0^2} + \frac{1}{r^2} \right) + (1 - e^{-\alpha t}) \left(1 + \ln \frac{r}{R_0} \right) \right], \\ \varepsilon_\theta^{p(0)} &= -\varepsilon_r^{p(0)} = \frac{\chi(1 - e^{-\alpha t})}{2\mu + c} \left(\frac{1}{r^2} - 1 \right), \end{aligned} \quad (8)$$

где μ — модуль сдвига; $\chi = \text{sign}(q_0 - gh)$; $\alpha = (2\mu + c)/\eta$;

— в упругой области ($1 < r < \infty$)

$$\sigma_r^{(0)} = -gh - \frac{1}{r^2}, \quad \sigma_\theta^{(0)} = -gh + \frac{1}{r^2}, \quad \varepsilon_\theta^{p(0)} = -\varepsilon_r^{p(0)} = \frac{\chi}{2\mu r^2}. \quad (9)$$

Уравнение для определения радиуса $\gamma^{(0)}$ упругопластической границы в массиве имеет вид

$$|q_0 - gh|(2\mu + c) - 2\mu + 4\mu \ln R_0(1 - e^{-\alpha t}) - (2\mu e^{-\alpha t} + c)/R_0^2 = 0. \quad (10)$$

Первое приближение согласно [8] запишем в следующем виде:

— в пластической области ($R_0 < r < 1$)

$$\begin{aligned} \sigma_r^{(1)} &= \frac{m_1}{2} \left(\frac{1}{R_0^2} - \frac{1}{r^2} - 2 \ln \frac{r}{R_0} \right) + \frac{2AR_0 d'}{r} (\sqrt{B^2 - 1} \sin \phi_1 - \cos \phi_1) \cos B\theta, \\ \sigma_\theta^{(1)} &= \frac{m_1}{2} \left(\frac{1}{R_0^2} + \frac{1}{r^2} - 2 - 2 \ln \frac{r}{R_0} \right) + \frac{2AR_0 d'}{r} (\sqrt{B^2 - 1} \sin \phi_1 - \cos \phi_1) \cos B\theta, \\ \tau_{r\theta}^{(1)} &= -\frac{2m_1 AR_0 d'}{r} \cos \phi_1' \sin B\theta, \\ \varepsilon_\theta^{p(1)} &= \frac{m_1}{2\mu} \left(1 - \frac{2a_0 + 1}{r^2} \right) - \frac{1}{r} \left\{ B\sqrt{B^2 - 1} (c_1 \sin \phi - c_2 \cos \phi) - \right. \\ &\quad \left. - \frac{AR_0 d'}{\mu(2\mu + c)} \left[((1 + B^2) \cos \phi_1 - \sqrt{B^2 - 1} \sin \phi_1) \frac{\mu(1 - e^{-\alpha t})}{r^2} + \right. \right. \\ &\quad \left. \left. + \frac{B^2(2e^{-\alpha t} + c)}{\sqrt{B^2 - 1}} (\sin \phi_1 + \sqrt{B^2 - 1} \ln r \cos \phi_1) \right] \right\} \sin B\theta, \\ \varepsilon_r^{p(1)} &= -\varepsilon_\theta^{p(1)}, \end{aligned} \quad (11)$$

где

$$\begin{aligned} c_1 &= \frac{AR_0 d'}{B\mu(2\mu + c)(B^2 - 1)} \{ \mu(1 - e^{-\alpha t})(B^2 - 1) \cos \phi_0 + \\ &\quad + \sqrt{B^2 - 1} [\mu(m^2 - 1)(1 - e^{-\alpha t}) - B(2\mu + c)] \sin \phi_0 \}, \end{aligned}$$

$$c_2 = \frac{AR_0d'}{B\mu(2\mu+c)(B^2-1)} \{ \sqrt{B^2-1} [\mu(1-e^{-\alpha t})(B^2+1) - m(2\mu+c)] \cos \phi_0 + \\ + [B^2(2\mu e^{-\alpha t} + c) + (1-e^{-\alpha t})(B^2-1)\mu] \sin \phi_0 \},$$

$$A = \frac{1}{2\mu+c} \left[2\mu(1-e^{-\alpha t}) + \frac{c+2\mu e^{-\alpha t}}{R_0^2} \right], \quad m_1 = \frac{2c}{2\mu+c} (1-e^{-\alpha t}) + 2e^{-\alpha t},$$

$$\phi = \sqrt{B^2-1} \ln r, \quad \phi_1 = \sqrt{B^2-1} \ln \frac{r}{R_0}, \quad \phi_0 = \sqrt{B^2-1} \ln R_0, \quad a_0 = \frac{1}{2} \left(\frac{1}{R_0^2} - 1 + 2 \ln R_0 \right);$$

— в упругой области ($1 < r < \infty$)

$$\sigma_r^{(1)} = \frac{m_1 a_0}{r^2} - \frac{M}{2} \left(\frac{B+2}{r^B} - \frac{B}{r^{B+2}} \right) + N \left(\frac{B+2}{r^{B+2}} - \frac{B+2}{r^B} \right) \cos B\theta,$$

$$\sigma_\theta^{(1)} = -\frac{m_1 a_0}{r^2} - \frac{M}{2} \left(\frac{B}{r^{B+2}} - \frac{B-2}{r^B} \right) + N \left(\frac{B-2}{r^B} - \frac{B+2}{r^{B+2}} \right) \cos B\theta, \quad (12)$$

$$\tau_{r\theta}^{(1)} = \frac{M}{2} \left(\frac{B}{r^{B+2}} - \frac{B}{r^B} \right) - N \left(\frac{B}{r^B} - \frac{B+2}{r^{B+2}} \right) \sin B\theta,$$

где $M = 2AR_0d'(\sqrt{m^2-1} \sin \phi_0 + \cos \phi_0)$; $N = 2BAR_0d' \cos \phi_0$.

Уравнение для определения радиуса $\gamma^{(1)}$ упругопластической границы имеет вид

$$\gamma^{(1)} = -\frac{(2\mu+c)m_1 a_0}{4\mu(1-e^{-\alpha t})} + \frac{2\mu+c}{2\mu(1-e^{-2t})} BAR_0d' \cos \phi_0 \cos B\theta. \quad (13)$$

В (8)–(13) все величины, имеющие размерность напряжений, отнесены к пределу текучести k , а имеющие размерность длины — к радиусу $\gamma^{(0)}$ упругопластической границы в невозмущенном состоянии.

Для определения нулевого и первого приближений этой задачи использовались уравнения равновесия, условие пластичности (1), соотношения ассоциированного закона пластического течения (2), соотношения, связывающие полные упругие и пластические деформации, общие уравнения теории упругости, граничные условия, а также условия сопряжения решений в упругой и пластической областях.

Уравнения (3)–(7) в предположении продолжающегося нагружения [5] и с учетом условия несжимаемости массива представляют собой замкнутую систему уравнений для исследования устойчивости основного состояния (8)–(13) горизонтальной выработки с многоугольным поперечным сечением, когда имеется граница раздела областей упругого и пластического поведения материала при нагружении в массиве горных пород. Это система дифференциальных уравнений в частных производных относительно компонент векторов перемещений u , v , w и гидростатического давления p , соответствующих пластической и упругой зонам массива. Нетривиальное решение этой задачи соответствует потере устойчивости основного состояния. Для нахождения собственных значений задачи перемещения и гидростатические давления в зонах упругого и пластического деформирования горного массива аппроксимируем двойными тригонометрическими рядами:

$$u = \sum_n \sum_m A_{nm}(r) \cos m\theta \cos nz, \quad v = \sum_n \sum_m B_{nm}(r) \sin m\theta \cos nz,$$

$$w = \sum_n \sum_m C_{nm}(r) \cos m\theta \sin nz, \quad p = \sum_n \sum_m D_{nm}(r) \cos m\theta \cos nz$$

(n, m — параметры волнообразования).

Подставляя функции u, v, w, p в линеаризованные уравнения устойчивости (3) и учитывая (6), (7), а также условие несжимаемости, после ряда преобразований бесконечную систему обыкновенных дифференциальных уравнений относительно A_{nm} и B_{nm} получим в виде

$$\begin{aligned} \xi_1 A(r) + \xi_2 A'(r) + \xi_3 A''(r) + \xi_4 A'''(r) + \xi_5 A^{IV}(r) + \xi_6 B(r) + \xi_7 B'(r) + \xi_8 B''(r) + \xi_9 B'''(r) &= 0, \\ \xi_{10} A(r) + \xi_{11} A'(r) + \xi_{12} A''(r) + \xi_{13} A'''(r) + \xi_{14} B(r) + \xi_{15} B'(r) + \xi_{16} B''(r) &= 0, \end{aligned} \quad (14)$$

где

$$\begin{aligned} \xi_1 = & \left\{ a_{2,r} + \frac{1}{r} (a_{10,\theta} - a_6) - \frac{\sigma_\theta^0}{r} (1 + m^2) + r\rho\omega^2 - m^2 a_{12} - n^2 \mu r + \right. \\ & + \frac{1}{r} \left[a_7 - a_{11,\theta} - r a_{3,r} + \frac{1}{n^2} \left(\frac{3\mu}{r^2} (1 - m^2) - \frac{3m^2}{r^2} \sigma_\theta^0 + \frac{m^2}{r} \sigma_{\theta,r}^0 + \right. \right. \\ & \left. \left. + \frac{1}{r} \left(r\rho\omega^2 - \frac{3}{r} (\tau_{r\theta,\theta}^0 - 3\sigma_r^0) - 5\sigma_{r,r}^0 + r\sigma_{r,rr}^0 + \tau_{r\theta,r\theta}^0 \right) \right] \right\} \cos m\theta + \\ & + \left\{ a_4 - a_{12,\theta} + r a_{4,r} - a_8 - \tau_{r\theta,r}^0 + \right. \\ & \left. + \frac{1}{r} \left[a_{11} - a_{10} - \sigma_{\theta,\theta}^0 + \frac{1}{n^2} \left(\frac{6\tau_{r\theta}^0}{r^2} - \frac{4}{r} \tau_{r\theta,r}^0 - \frac{3}{r^2} \sigma_{\theta,\theta}^0 + \tau_{r\theta,r\theta}^0 + \frac{1}{r} \sigma_{\theta,\theta r}^0 \right) \right] \right\} m \sin m\theta, \\ \xi_2 = & \left\{ a_1 + a_2 - 2a_3 - a_5 + a_7 + r(a_{1,r} - a_{3,r}) + a_{9,\theta} - a_{11,\theta} - \sigma_r^0 + r\sigma_{r,r}^0 + \tau_{r\theta,\theta}^0 + \right. \\ & + \frac{1}{r} (\lambda + \mu) - \frac{1}{n^2} \left[\frac{\mu}{r^2} (3 + m^2) + \frac{m^2}{r^2} \sigma_\theta^0 - \frac{m^2}{r} \sigma_{\theta,r}^0 + \right. \\ & \left. + \frac{1}{r} \left(r\rho\omega^2 + r\sigma_{r,rr}^0 - \frac{3}{r} \tau_{r\theta,\theta}^0 + \frac{9}{r} \sigma_r^0 + \tau_{r\theta,r\theta}^0 - 5\sigma_{r,r}^0 \right) \right] \right\} \cos m\theta + \\ & + \left\{ r a_4 + a_{11} - a_9 - 2\tau_{r\theta}^0 \left(1 + \frac{3}{r^2 n^2} \right) + \frac{1}{n^2} \left[\frac{2\tau_{r\theta,r}^0}{r} - \frac{1}{r^2} \sigma_{\theta,\theta}^0 + \tau_{r\theta,r\theta}^0 + \frac{1}{r} \sigma_{\theta,\theta r}^0 \right] \right\} m \sin m\theta, \\ \xi_3 = & \left\{ r(a_1 - a_3 + \sigma_r^0) + (r - 1)(\lambda + \mu) - \right. \\ & - \frac{1}{n^2} \left[r\rho\omega^2 - \frac{\mu}{r} (m^2 + 3) - \frac{m^2}{r} \sigma_\theta^0 + \sigma_{r,r}^0 - \frac{3}{r} \sigma_r^0 + \tau_{r\theta,r\theta}^0 + r\sigma_{r,rr}^0 \right] \right\} \cos m\theta + \\ & + \left\{ \frac{1}{r} \sigma_{\theta,\theta r}^0 + 3\tau_{r\theta,r}^0 \right\} \frac{m}{n^2} \sin m\theta, \\ \xi_4 = & -\frac{1}{n^2} \{ 2r\sigma_{r,r}^0 + 2\mu + \tau_{r\theta,\theta}^0 \} \cos m\theta + \frac{2m}{n^2} \tau_{r\theta}^0 \sin m\theta, \quad \xi_5 = -\frac{r(\mu + \sigma_r^0)}{n^2} \cos m\theta, \\ \xi_6 = & \left\{ a_{2,r} - a_{12} + \frac{1}{r} \left[a_{10,\theta} - a_6 - 2\sigma_\theta^0 - a_{11,\theta} + a_7 - r a_{3,r} - \right. \right. \\ & - \frac{1}{n^2} \left(\frac{\mu}{r^2} (5 + 3m^2) + \frac{3m^2}{r^2} \sigma_\theta^0 - \frac{m^2}{r} \sigma_{\theta,r}^0 + \rho\omega^2 - \frac{3}{r} \sigma_{r,r}^0 - \frac{1}{r^2} \tau_{r\theta,\theta}^0 + \right. \\ & \left. \left. + \frac{7}{r^2} \sigma_r^0 - \sigma_{r,rr}^0 - \frac{1}{r} \tau_{r\theta,r\theta}^0 \right) \right] \right\} m \cos m\theta + \\ & + \left\{ r a_{4,r} - a_{12,\theta} + a_4 - a_8 - \tau_{r\theta,r}^0 - \frac{1}{r} (\sigma_{\theta,\theta}^0 + m^2 (a_{10} - a_{11})) - \right. \end{aligned}$$

$$\begin{aligned}
& - \frac{m^2}{n^2 r} \left[\frac{2}{r^2} \tau_{r\theta}^0 + \frac{4}{r} \tau_{r\theta,r}^0 + \frac{3}{r^2} \sigma_{\theta,\theta}^0 - \tau_{r\theta,r\theta}^0 - \frac{1}{r} \sigma_{\theta,\theta r}^0 \right] \} \sin m\theta, \\
\xi_7 = & \left\{ a_2 + r a_{12} - a_3 - \frac{1}{r n^2} \left[r \rho \omega^2 + \frac{\mu}{r} (3 - m^2) - \frac{m^2}{r} \sigma_{\theta}^0 + r \sigma_{r,r}^0 - \right. \right. \\
& \left. \left. - \frac{3}{r} \tau_{r\theta,\theta}^0 + \frac{9}{r} \sigma_r^0 - 5 \sigma_{r,r}^0 + \tau_{r\theta,r\theta}^0 \right] \right\} m \cos m\theta + \\
& + \left\{ r \left(a_{12,\theta} - a_4 + a_8 - r a_{4,r} - \frac{2}{r} \tau_{r\theta}^0 \right) - \frac{m^2}{n^2 r} \left(\frac{6}{r} \tau_{r\theta}^0 - 3 \tau_{r\theta,r}^0 - \frac{1}{r} \sigma_{\theta,\theta}^0 \right) \right\} \sin m\theta, \\
\xi_8 = & - \frac{m}{r n^2} \left\{ 2 r \sigma_{r,r}^0 - 2 \mu - 4 \sigma_r^0 + \tau_{r\theta,\theta}^0 \right\} \cos m\theta + \left\{ \frac{2 m^2}{r n^2} \tau_{r\theta}^0 - r^2 a_4 \right\} \sin m\theta, \\
\xi_9 = & - \frac{m(\mu + \sigma_r^0)}{n^2} \cos m\theta, \tag{15} \\
\xi_{10} = & m \left\{ a_{8,\theta} - 2 a_{12} - a_{12,r} + \frac{1}{r} \left[a_7 - a_6 - 2 \sigma_{\theta}^0 + \frac{1}{r n^2} \left(r \rho \omega^2 + \frac{\mu}{r} (1 - m^2) - \right. \right. \right. \\
& \left. \left. \left. - \frac{m^2}{r} \sigma_{\theta}^0 - \sigma_{r,r}^0 - \frac{1}{r} (\tau_{r\theta,\theta}^0 - 3 \sigma_r^0) \right) \right] \right\} \cos m\theta \sin m\theta + \\
& + \left\{ \frac{1}{r} \left[(a_{10} - a_{11}) \left(2 - \frac{1}{r} \right) + a_{10,r} + a_{6,\theta} + r \tau_{r\theta,r}^0 + \sigma_{\theta,\theta}^0 - a_{11,r} - a_{7,\theta} + r m^2 a_8 \right] \right\} \cos^2 m\theta + \\
& + \left(\frac{m}{r n} \right)^2 \left\{ \frac{1}{r} (2 \tau_{r\theta}^0 - \sigma_{\theta,\theta}^0) - \tau_{r\theta,r}^0 \right\} \sin^2 m\theta, \\
\xi_{11} = & m \left\{ a_7 - a_{12} - a_5 + \frac{1}{r} \left[(\lambda + \mu)(1 - r) + \right. \right. \\
& \left. \left. + \frac{1}{n^2} \left(r \rho \omega^2 - \frac{\mu}{r} (1 + m^2) - \frac{m^2}{r} \sigma_{\theta}^0 + \sigma_{r,r}^0 + \frac{1}{r} (\tau_{r\theta,\theta}^0 - 3 \sigma_r^0) \right) \right] \right\} \cos m\theta \sin m\theta + \\
& + \left\{ 2 \tau_{r\theta}^0 + 2 a_9 + a_{9,r} + \frac{1}{r} a_{10,r} + a_{5,\theta} - a_{11,r} - a_{7,\theta} - a_{11} \left(2 + \frac{1}{r} \right) \right\} \cos^2 m\theta - \\
& - \frac{m^2}{r n^2} \left\{ \frac{1}{r} (2 \tau_{r\theta}^0 + \sigma_{\theta,\theta}^0) + \tau_{r\theta,r}^0 \right\} \sin^2 m\theta, \\
\xi_{12} = & \frac{m}{r n^2} \left\{ 2 \mu + r \sigma_{r,r}^0 + \tau_{r\theta,\theta}^0 \right\} \cos m\theta \sin m\theta + \left\{ a_9 - a_{11} \right\} \cos^2 m\theta - \frac{2 m^2}{r n^2} \tau_{r\theta}^0 \sin^2 m\theta, \\
\xi_{13} = & \frac{m}{n^2} \left\{ \mu + \sigma_r^0 \right\} \cos m\theta \sin m\theta, \\
\xi_{14} = & \left\{ a_{8,\theta} - 2 a_{12} - a_{12,r} + r \rho \omega^2 \left(1 + \left(\frac{m}{r n} \right)^2 \right) - n^2 \mu r - \frac{1}{r} \sigma_{\theta}^0 + \right. \\
& + \frac{m^2}{r} \left[a_7 - a_6 - \sigma_{\theta}^0 + \frac{1}{r n^2} \left(\frac{\mu}{r} (1 - m^2) - \frac{m^2}{r} \sigma_{\theta}^0 - \sigma_{r,r}^0 - \frac{1}{r} (\tau_{r\theta,\theta}^0 - 3 \sigma_r^0) \right) \right] \right\} \cos m\theta \sin m\theta + \\
& + \frac{m}{r} \left\{ (a_{10} - a_{11}) \left(2 - \frac{1}{r} \right) + a_{10,r} + r \tau_{r\theta,r}^0 + \sigma_{\theta,\theta}^0 + a_{6,\theta} - a_{11,r} - a_{7,\theta} + r a_8 \right\} \cos^2 m\theta - \\
& - \frac{m^3}{r^3 n^2} \left\{ 2 \tau_{r\theta}^0 - \sigma_{\theta,\theta}^0 - r \tau_{r\theta,r}^0 \right\} \sin^2 m\theta, \\
\xi_{15} = & \left\{ r \left(2 a_{12} + a_{12,r} - a_{8,\theta} + \sigma_{r,r}^0 + \frac{1}{r} (\tau_{r\theta,\theta}^0 - \sigma_r^0) \right) + \right.
\end{aligned}$$

$$\begin{aligned}
& + \left(\frac{m}{rn}\right)^2 (\tau_{r\theta,\theta}^0 + r\sigma_{r,r}^0 - 3\sigma_r^0 - \mu) \cos m\theta \sin m\theta + \\
& + m \left\{ \frac{1}{r} (a_{10} - a_{11}) - ra_8 + 2\tau_{r\theta}^0 \right\} \cos^2 m\theta - \frac{2m^3}{r^2 n^2} \tau_{r\theta}^0 \sin^2 m\theta, \\
\xi_{16} & = \frac{m}{n^2} \left\{ r(a_{12} + \sigma_r^0) + \frac{m^2}{rn^2} (\mu + \sigma_r^0) \right\} \cos m\theta \sin m\theta.
\end{aligned}$$

При этом в горном массиве в пластической области V^p докритическое состояние определяется по формулам (8), (11), а в упругой области V^e — по формулам (9), (12). Для упрощения записи в (14) и далее индексы n, m у величин A, B опущены.

Граничные условия (4) на внутреннем контуре выработки при $r = R_0(1 + \delta \cos B\theta - (3/4)\delta^2 d^2(1 - \cos 2B\theta + \dots))$ ($0 \leq \theta \leq 2\pi$) с учетом (6), (7) принимают вид

$$\begin{aligned}
A\varphi_1 + A'\varphi_2 + A''\varphi_3 + A'''\varphi_4 + B\varphi_5 + B'\varphi_6 + B''\varphi_7 & = 0, \\
A\varphi_8 + A'\varphi_9 + B\varphi_{10} + B'\varphi_{11} & = 0, \\
A\varphi_{12} + A'\varphi_{13} + A''\varphi_{14} + B\varphi_{15} + B'\varphi_{16} & = 0,
\end{aligned} \tag{16}$$

где

$$\begin{aligned}
\varphi_1 & = -\frac{1}{r} \left\{ a_3 - a_2 - \mu + \frac{1}{rn^2} \left[r\rho\omega^2 + \frac{\mu}{r}(1 - m^2) - \frac{m^2}{r} \sigma_\theta^0 + \frac{1}{r} (3\sigma_r^0 - \tau_{r\theta,\theta}^0 - r\sigma_{r,r}^0) \right] \right\} \cos m\theta + \\
& + m \left\{ a_4 - \frac{1}{r} \tau_{r\theta}^0 \left(1 + \frac{2}{r^2 n^2} \right) + \frac{1}{n^2 r^2} \left(\tau_{r\theta,r}^0 + \frac{1}{r} \sigma_{\theta,\theta}^0 \right) \right\} \sin m\theta, \\
\varphi_2 & = \left\{ a_1 - a_3 + \sigma_r^0 - \frac{1}{r} \left[(1 - r)(\lambda + \mu) + \frac{1}{n^2} \left(r\rho\omega^2 - \frac{\mu}{r} (m^2 + 1 + n^2 r^2) - \right. \right. \right. \\
& \left. \left. \left. - \frac{m^2}{r} \sigma_\theta^0 + \frac{1}{r} (r\sigma_{r,r}^0 - 3\sigma_r^0 + \tau_{r\theta,\theta}^0) \right) \right] \right\} \cos m\theta + \\
& + \frac{m}{rn^2} \left\{ \frac{1}{r} \sigma_{\theta,\theta r}^0 + \tau_{r\theta,r}^0 + \frac{2}{r} \tau_{r\theta}^0 \right\} \sin m\theta, \\
\varphi_3 & = -\frac{1}{rn^2} \{ r\sigma_{r,r}^0 + 2\mu + \tau_{r\theta,\theta}^0 \} \cos m\theta + \frac{2m}{rn^2} \tau_{r\theta}^0 \sin m\theta, \quad \varphi_4 = -\frac{\mu + \sigma_r^0}{n^2} \cos m\theta, \\
\varphi_5 & = -\frac{m}{r} \left\{ a_3 - a_2 - \mu + \frac{1}{rn^2} \left[r\rho\omega^2 + \frac{\mu}{r} (1 - m^2) - \frac{m^2}{r} \sigma_\theta^0 + \frac{1}{r} (3\sigma_r^0 - \tau_{r\theta,\theta}^0 - r\sigma_{r,r}^0) \right] \right\} \cos m\theta + \\
& + \left\{ a_4 - \frac{1}{r} \tau_{r\theta}^0 + \left(\frac{m}{nr}\right)^2 \left(\tau_{r\theta,r}^0 + \frac{1}{r} \sigma_{\theta,\theta}^0 - \frac{2}{r} \tau_{r\theta}^0 \right) \right\} \sin m\theta, \\
\varphi_6 & = \frac{m}{r^2 n^2} \{ \mu + 3\sigma_r^0 - r\sigma_{r,r}^0 - \tau_{r\theta,\theta}^0 \} \cos m\theta + \left\{ 2 \left(\frac{m}{rn}\right)^2 \tau_{r\theta}^0 - ra_4 \right\} \sin m\theta, \\
\varphi_7 & = -\frac{m(\mu + \sigma_r^0)}{rn^2} \cos m\theta, \quad \varphi_8 = \frac{1}{r} \{ a_{10} - a_{11} + \tau_{r\theta,\theta}^0 \} \cos m\theta - ma_{12} \sin m\theta, \\
\varphi_9 & = \{ a_9 - a_{11} \} \cos m\theta, \quad \varphi_{10} = \frac{m}{r} \{ a_{10} - a_{11} + \tau_{r\theta,\theta}^0 \} \cos m\theta - a_{12} \sin m\theta, \\
\varphi_{11} & = \{ ra_{12} + \sigma_r^0 \} \sin m\theta, \quad \varphi_{12} = \left\{ n\mu - \frac{\mu + \sigma_r^0}{nr^2} \right\} \cos m\theta - \frac{m}{nr^2} \tau_{r\theta}^0 \sin m\theta, \\
\varphi_{13} & = \frac{\mu + \sigma_r^0}{nr} \cos m\theta - \frac{m}{nr} \tau_{r\theta}^0 \sin m\theta, \quad \varphi_{14} = \frac{\mu + \sigma_r^0}{nr} \cos m\theta,
\end{aligned} \tag{17}$$

$$\varphi_{15} = -\frac{m(\mu + \sigma_r^0)}{nr^2} \cos m\theta - \frac{m^2}{nr^2} \tau_{r\theta}^0 \sin m\theta, \quad \varphi_{16} = \frac{m(\mu + \sigma_r^0)}{nr} \cos m\theta.$$

Условия непрерывности напряжений (5) на упругопластической границе $\gamma = \gamma^{(0)} + \delta\gamma^{(1)}$ ($0 \leq \theta \leq 2\pi$) с учетом (6), (7) имеют вид

$$\begin{aligned} A^p \zeta_1 + A'^p \zeta_2 + A''^p \varphi_3^p - A''^e \varphi_3^e + A'''^p \varphi_4^p - A'''^e \varphi_4^e + B^p \zeta_5 + B'^p \zeta_6 + B''^p \varphi_7^p - B''^e \varphi_7^e &= 0, \\ A^p \zeta_8 + A'^p \zeta_9 + B^p \zeta_{10} + B'^p \zeta_{11} &= 0, \\ A^p \zeta_{12} + A'^p \zeta_{13} + A''^p \varphi_{14}^p - A''^e \varphi_{14}^e + B^p \zeta_{15} + B'^p \zeta_{16} &= 0, \end{aligned} \quad (18)$$

где $\zeta_i = \varphi_i^p - \varphi_i^e$ ($i = 1, 2, \dots, 16$).

Из условия локальности возмущений $u_j \rightarrow 0$ при $r \rightarrow \infty$ ($j = 1, 2, 3$) следует

$$(A')^e = 0, \quad (A'')^e = 0, \quad (B')^e = 0, \quad (B'')^e = 0. \quad (19)$$

Поскольку точное аналитическое решение краевой задачи (14)–(19) найти не удастся, будем искать приближенное решение методом конечных разностей [9]. Метод основан на замене производных от функций $A(r)$, $B(r)$ конечно-разностными выражениями. В результате получаем однородную систему алгебраических уравнений, линейных относительно параметров A_{nm} , B_{nm} . Отсюда следует, что определение значения критической нагрузки q_0 , соответствующей локальной потере устойчивости горизонтальной выработки с многоугольным поперечным сечением, сводится к разрешимости матричного уравнения. При вычислении определителя наряду с нахождением основного напряженно-деформированного состояния для каждой области V^p , V^e массива (8), (11), (9), (12) необходимо учитывать уравнения (10) и (13), определяющие положение упругопластической границы γ в горном массиве. Минимизация должна производиться по шагу разностной сетки, параметрам волнообразования по контуру m и образующей n , параметрам материала и конструкции λ_j . Таким образом, получаем задачу многомерной оптимизации величины q_0 в зависимости от m , n при условии равенства нулю определителя полученной алгебраической системы: $\det(q_0, m, n, \lambda_j) = 0$.

Вычисления проводились для случая, когда горный массив содержал выработку, имеющую в поперечном сечении форму квадрата ($B = 4$) со сглаженными углами. На рис. 1–3 представлены зависимости критического давления на контуре выработки от величины

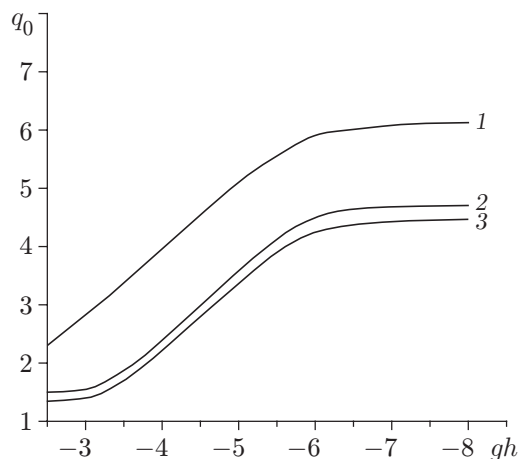


Рис. 1. Зависимость критического давления на контуре горной выработки от величины гидростатического давления gh при $\eta = 0,001$:

1 — $c = 0,9$; 2 — $c = 0,1$; 3 — $c = 0,01$

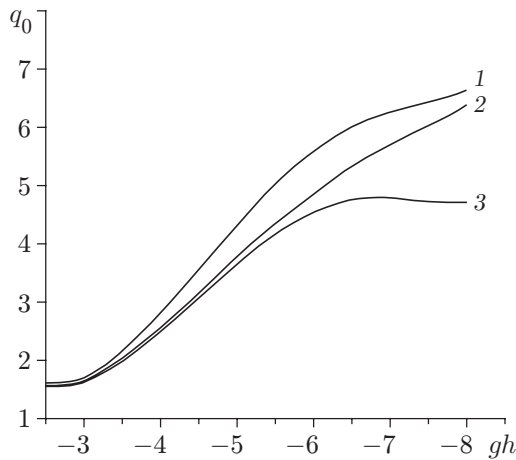


Рис. 2

Рис. 2. Зависимость критического давления на контуре горной выработки от gh при $c = 0,1$:

1 — $\eta = 0,001$; 2 — $\eta = 0,01$; 3 — $\eta = 0,1$

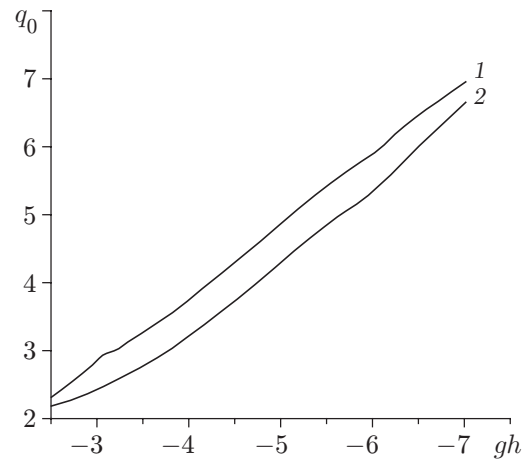


Рис. 3

Рис. 3. Зависимость критического давления на контуре горной выработки от gh при $c = 0,9$, $\eta = 0,001$:

1 — для выработки формы правильного четырехугольника со сглаженными углами ($B = 4$); 2 — формы окружности ($B = 60$)

гидростатического давления gh . При этом принято $R_0 = 0,4$, $\delta = 0,06$, $\mu = 1$, параметры волнообразования $n = m = 4$.

Анализ численного эксперимента показал:

- с увеличением глубины заложения критическое давление на контуре выработки увеличивается (см. рис. 1–3);
- с ростом коэффициента упрочнения c критическое давление на контуре выработки увеличивается (см. рис. 1);
- критическая нагрузка на контуре выработки при увеличении вязкости уменьшается, в этом смысле можно говорить о стабилизирующей роли вязкости в среде (см. рис. 2);
- для круговой цилиндрической выработки область устойчивости будет больше, чем для выработки с квадратным поперечным сечением (см. рис. 3).

Если в соотношениях (8)–(13) положить $\delta = 0$, то приходим к результатам, полученным в работе [4] для круговой цилиндрической выработки.

ЛИТЕРАТУРА

1. Алимжанов М. Т. Проблемы устойчивости равновесия в задачах геомеханики // Успехи механики. 1990. Т. 13, вып. 3. С. 21–57.
2. Спорыхин А. Н., Гоцев Д. В. Локальная неустойчивость горизонтальных выработок с многослойной крепью в упругопластических массивах // Изв. РАН. Механика твердого тела. 2002. № 1. С. 158–166.
3. Спорыхин А. Н., Чеботарев А. С. Локальная неустойчивость стенок бурящихся скважин в сжимаемых упрочняющихся упруговязкопластических массивах // ПМТФ. 1999. Т. 40, № 6. С. 177–183.
4. Спорыхин А. Н. Метод возмущений в задачах устойчивости сложных сред. Воронеж: Воронеж. гос. ун-т, 1997.

5. **Гузь А. Н.** Основы теории устойчивости горных выработок. Киев: Наук. думка, 1977.
6. **Быковцев Г. И., Ивлев Д. Д.** Теория пластичности. Владивосток: Дальнаука, 1998.
7. **Спорыхин А. Н.** Об устойчивости деформирования упруговязкопластических тел // ПМТФ. 1967. № 4. С. 52–58.
8. **Спорыхин А. Н., Ковалев А. В., Щеглова Ю. Д.** Неоднородные задачи упруговязкопластичности с неизвестной границей. Воронеж: Воронеж. гос. ун-т, 2004.
9. **Корнишин М. С.** Нелинейные задачи теории пластин и пологих оболочек и методы их решения. М.: Наука, 1964.

Поступила в редакцию 31/V 2004 г.
